

(HUANJING KEXUE)

# ENVIRONMENTAL SCIENCE

第34卷 第8期

Vol.34 No.8

2013

中国科学院生态环境研究中心 主办



## 新 施 静 享 (HUANJING KEXUE)

#### ENVIRONMENTAL SCIENCE

第34卷 第8期 2013年8月15日

### 目 次

```
2006~2009年我国超大城市霾天气特征及影响因子分析 …… 戴永立, 陶俊, 林泽健, 谢绍东, 曹军骥, 张仁健(2925)
·······陈强,蒋卫国,陈曦,袁丽华,王文杰,潘英姿,王维,刘孝富,刘海江(2975)
固相微萃取和固相萃取评价多环芳烃降解过程中的生物有效性变化 郭美霞, 巩宗强, 李晓军, 刘丹, 王悦(3244) 改良型固定化 Pseudomonas oleovorans DT4 降解四氢呋喃的研究 邵钱, 叶杰旭, 欧阳杜娟, 陈建孟, 陈东之(3251) PCR-DGGE 技术解析固体碳源表面生物膜的微生物群落结构 徐影, 仇天雷, 韩梅琳, 李军, 王旭明(3257) 温度对嗜酸性硫杆菌活性和生物成因次生铁矿物形成的影响 宋永伟, 赵博文, 霍敏波, 崔春红, 周立祥(3264) 小白菜对外源硒酸盐和亚硒酸盐动态吸收的差异及其机制研究 郭璐, 满楠, 梁东丽, 谢钧宇, 刘娟娟(3272) 预处理对打捆麦秸贮存和厌氧生物产沼气的影响 马慧娟, 陈广银, 杜静, 常志州, 叶小梅(3280) 硝酸盐对淡水水生生物毒性及水质基准推导 张铃松, 王业耀, 孟凡生, 周岳溪, 于海斌(3286) 杜勒毒性测试微孔板 MTOXPlate 的分析性能研究 林奕云, 张国霞, 贺丽苹, 孙国萍, 许玖英(3294) 亚洲香, 霍烟莉, 安静, 尚明, 如玉芝, 唐佳, 文章(3203)
《环境科学》征稿简则(2967) 《环境科学》征订启事(3034) 信息(3063,3136,3194,3302)
```

### 东北三省畜禽养殖类固醇激素排放及其潜在污染风险

刘姝芳<sup>1,2</sup>,李艳霞<sup>1\*</sup>,张雪莲<sup>1</sup>,冯成洪<sup>1</sup>,鲁肖飞<sup>1</sup>,杨明<sup>1</sup>,李帷<sup>3</sup>,朱铁群<sup>4</sup>,黄泽春<sup>5</sup>

(1.北京师范大学环境学院,水环境模拟国家重点实验室,北京 100875; 2. 黄河水利委员会黄河水利科学研究院,郑州 450003; 3. 环境保护部核与辐射安全中心,北京 100082; 4. 华北水利水电学院环境与市政工程学院,郑州 450011; 5. 中国 环境科学研究院固体废物污染控制技术研究所,北京 100012)

摘要:以东北三省畜禽养殖数量统计数据和养殖结构分析为基础,对黑龙江、吉林和辽宁省畜禽养殖类固醇激素排放量进行了估算,并初步探讨了畜禽粪便中类固醇激素对当地水体的潜在污染风险.结果表明,由于养殖数量的增加,东北三省畜禽粪便所排放的类固醇激素量均持续增大.在1998~2008年的10 a间,辽宁、吉林和黑龙江三省的类固醇激素排放量分别增长了2 272.7、1951.1和1634.8 kg,并且省会城市沈阳、长春和哈尔滨的增长最为明显.东北三省各城市中畜禽粪便类固醇雌激素排放量最大的是长春,达到874.7 kg;哈尔滨和沈阳的排放量在各自省份中也是最大,分别为652.7 kg和603.1 kg.辽宁省的畜禽类固醇激素排放总量在东北三省为最多,所排放类固醇雌激素的雌二醇等当量浓度  $EEQ_s$ 预测值也最高,达到17.1 ng·L<sup>-1</sup>.如果以英国环保署(Environment Agency, United Kingdom)建议的最低可观测效应浓度 10 ng·L<sup>-1</sup>为参考依据,辽宁省在目前的畜禽养殖规模和结构下,所排放的粪便类固醇雌激素极有可能会对地表水体中的水生生物产生内分泌干扰效应.

关键词:类固醇激素;畜禽养殖;生态污染;风险预估;东北三省

中图分类号: X52; X820.4 文献标识码: A 文章编号: 0250-3301(2013)08-3180-08

# **Excretion of Manure-Borne Steroid Hormones and Their Potential Risk in the Three Northeast Provinces of China**

LIU Shu-fang<sup>1,2</sup>, LI Yan-xia<sup>1</sup>, ZHANG Xue-lian<sup>1</sup>, FENG Cheng-hong<sup>1</sup>, LU Xiao-fei<sup>1</sup>, YANG Ming<sup>1</sup>, LI Wei<sup>3</sup>, ZHU Tie-qun<sup>4</sup>, HUANG Ze-chun<sup>5</sup>

(1. State Key Laboratory of Water Environmental Simulation, School of Environment, Beijing Normal University, Beijing 100875, China; 2. Yellow River Institute of Hydraulic Research, Yellow River Conservancy Commission of the Ministry of Water Resources, Zhengzhou 450003, China; 3. Nuclear and Radiation Safety Centre, Ministry of Environmental Protection, Beijing 100082, China; 4. Institute of Environmental and Municipal Engineering, North China University of Water Resources and Electric Power, Zhengzhou 450011, China; 5. Research Institute of Solid Waste Management, Chinese Research Academy of Environmental Sciences, Beijing 100012, China)

Abstract: The excretion of manure-borne steroid hormones, including estrogens and androgens in Liaoning, Jilin and Heilongjiang province was estimated in this study on the basis of statistical data and by using the referenced estimation method in developed countries. In addition, the potential ecological risk of manure-borne steroid estrogens to local surface water systems from applying animal manure was preliminarily assessed. As a result of the rapid development of animal production, the excretions of manure-borne steroid hormones increased in all the three northeast provinces. In 2008, the emissions of total manure-borne estrogens and androgens increased by 2 272. 7, 1 951. 1 and 1 634. 8 kg compared to those in 1998 in Liaoning, Jilin and Heilongjiang provinces, respectively. Especially, the growth rates in the three capital cities of Shenyang, Changchun and Harbin were the fastest among their own provinces. The largest emissions of manure-borne steroid hormones, as well as the highest concentration of predicted estradiol equivalency (EEQs) in the surface water system were found in Liaoning province. According to the lowest observable effect concentration for  $17\beta$ -estradiol (10 ng·L<sup>-1</sup>) recommended by the Environmental Agency of United Kingdom, 17. 1 ng·L<sup>-1</sup> of EEQs level in Liaoning province might have become a potential risk to local surface water systems.

Key words: manure-borne steroid hormones; animal production; ecological pollution; risk assessment; three northeast provinces

类固醇激素包括天然和人工合成的雌激素、雄激素、孕激素和皮质激素,主要通过人和动物代谢随粪尿排泄物进入环境. 这类污染物在极低的浓度(如0.5 ng·g<sup>-1</sup>,甚至0.1 ng·L<sup>-1</sup>)水平下就可能对生物体造成危害,对生态环境的影响尤为显著<sup>[1]</sup>. 畜禽粪尿作为环境中类固醇激素的主要污染源之

一,在国际上已经引起关注[2,3]. 研究指出[4],美国

收稿日期: 2012-11-19; 修订日期: 2013-03-06

基金项目: 国家自然科学基金项目(21277013, 20977010); 环境保护公益性行业科研专项(200909042); 北京师范大学自主科研基金项目(2009SD-19)

作者简介: 刘姝芳(1986~)女,硕士研究生,主要研究方向为环境激素水体污染与防治,E-mail;violettse@126.com

\* 通讯联系人,E-mail:liyxbnu@bnu.edu.cn

畜禽养殖排泄产生的雌激素量约为其城市污水处理 厂排放的10倍,而英国畜禽养殖场年产生的17β-雌二醇高达789 kg,是其人口排放的近3倍<sup>[5]</sup>.受 养牛场出水污染的河流中,雄性呆头目鱼睾丸尺寸 明显减小,睾丸激素合成量降低且头部特征目间距 减小<sup>[6]</sup>,研究还发现,奶牛场排污中的雌激素通过 地下迁移已对地下水构成威胁<sup>[7]</sup>.

我国畜禽养殖数量位居世界第一,畜禽粪尿的产生量达到近40亿t·a<sup>-1[8]</sup>.这些畜禽粪尿一旦处理和利用不当,就会对环境造成污染.与欧美等发达国家相比,我国在有关畜禽养殖类固醇激素这方面的研究极少,无论是关于畜禽养殖过程中类固醇激素的排放,还是这些类固醇激素对环境的污染风险尚鲜见报道,因此急需开展相关探讨.本研究对我国东北三省畜禽粪便类固醇激素的排放量进行了估算,同时初步探讨了畜禽粪便中类固醇雌激素可能对当地水体的污染风险,以期为了解东北三省畜禽养殖对区域环境中类固醇激素的排放和污染风险提供借鉴和科学依据.

#### 1 材料与方法

#### 1.1 研究区域概况

东北三省包括黑龙江、吉林和辽宁省,土地总面积78.73万km²,约占全国的8.2%;其中,耕地面积20.43万km²,约占全国的16.6%.研究区域内分布着松花江、辽河两大水系,是东北三省重要的工业、生活水源,总流域面积63.05万km²,占整个区域面积的80%.

#### 1.2 类固醇激素排放量的估算

#### 1.2.1 典型畜禽养殖类型的筛选

根据东北三省养殖量以及粪便产生量的统计分析(表1),猪、肉牛、奶牛、肉鸡、蛋鸡的养殖规模在该区域最大,基本涵盖了养殖总量的94.8%,这几种养殖类型所产生的粪尿量也涵盖了总畜禽粪尿量的86.9%(以年末存栏量估算).其它几类养殖类型(如羊、骆驼、马和兔等)所占比例较低,并且养殖较为分散,不论从养殖数量和粪便产生量上都不具代表性.另外,由于目前国外有关类固醇激素的研究主要集中在猪、牛、鸡等畜禽养殖类型上,所报导的污染物排放浓度等资料相对全面且具有可比性,因此,本研究的养殖类型主要选取:猪、肉牛、奶牛、肉鸡、蛋鸡这5大类.表1是东北三省畜禽养殖的年末存栏量及粪便产生量.

表 1 2008 年东北三省畜禽年末存栏量及粪便产生量

畜禽类型	年末存栏量 <sup>1)</sup> × 10 <sup>6</sup> /头( 只 、 匹 ) • a <sup>-1</sup>	占总养殖比例 /%	粪便产生量 <sup>2)</sup> /万 t·d <sup>-1</sup>	占总养殖比例 /%
肉牛	11.2	2. 2	23. 6	35. 0
乳牛	1.8	0. 3	9.8	14. 6
猪	38. 5	7.7	20. 0	29. 7
鸡	422. 7	84. 5	5. 2	7. 7
其它	26. 2	5. 2	8. 9	13. 1
总计	500. 5	100. 0	67. 6	100. 0

1)数据来源:中国农业年鉴(2009),中国畜牧业年鉴(2009);2)畜禽粪便产生量的计算参考文献[9]

#### 1.2.2 畜禽养殖排放类固醇激素种类的筛选

类固醇激素主要包括两类:性激素和肾上腺皮质激素.性激素(雌、雄和孕激素)是畜禽排泄物中被研究较多的激素类物质<sup>[7]</sup>,由于具有最强的激素效应,类固醇雌激素(steroid estrogens, SEs)被关注的最早、研究的也最为深入<sup>[10]</sup>,近年来,欧美等发达国家也在逐步开展对雄激素的研究,认为无论其排放量还是环境毒性效应,也应该引起关注<sup>[11]</sup>.相比而言,有关畜禽养殖业所排放孕激素的相关研究有限,无论是排放浓度还是污染物的毒理效应等参数都极为缺乏;同样,虽然有关皮质激素的研究较多,但是国内外的相关报导基本是集中在检测污染

物的食品残留<sup>[12]</sup>,以及少量研究涉及污水处理厂出水和河水中的残留量检测<sup>[13]</sup>,至今鲜见有关畜禽养殖过程所排放皮质激素的相关报导.基于以上原因,本研究中有关畜禽粪便中类固醇激素排放量的估算暂不考虑孕激素和皮质激素.

畜禽养殖过程中所排放的天然 SEs 主要包括雌酮(estrone, E1)、 $17\alpha$ -雌二醇( $17\alpha$ -estradiol,  $\alpha$ E2)、 $17\beta$ -雌二醇( $17\beta$ -estradiol,  $\beta$ E2)和雌三醇(estriol, E3).不同脊椎动物排泄的类固醇雌激素种类不完全相同.在畜禽排泄物中  $\beta$ E2 和 E1 最常见[5],二者对水生生物产生毒理效应的浓度低于其它 SEs,并且在环境中被检测出的浓度往往高于其最低可观察效应

浓度水平(lowest observable effect concentration, LOEC)<sup>[7]</sup>.  $\alpha$ E2 主要存在牛的排泄物中<sup>[10]</sup>,也会对水生生物产生内分泌干扰效应<sup>[1]</sup>. 相比而言,尽管环境中常常可检出一定浓度的 E3,但由于它对水生生物的雌激素干扰效应较小,相关研究往往忽略其生态风险<sup>[5,14]</sup>. 因此,本研究在筛选畜禽排泄物中特征 SEs时也主要考虑 E1、 $\beta$ E2 和  $\alpha$ E2.

畜禽排泄物中含有一定量的天然雄激素,包括睾酮及其衍生物雄酮、雄烯二酮等.在现有的研究资料中,有关雄激素的报道大多以雄激素总量计,较难细分每一种雄激素的含量[15,16],因此本研究暂不考虑不同种类雄激素的单一排放量,只进行雄激素总排放量的估算.同时,类固醇雄激素主要由雄性动物睾丸间质细胞分泌,虽然雌性动物的卵巢和肾上腺皮质细胞也可以分泌雄激素,但由于产生量较低,且没有系统的研究数据<sup>[16]</sup>,本研究在进行雄激素排放量的估算时也暂不考虑雌性动物的雄激素排放。

#### 1.2.3 估算的基本原则及公式

为有效地和国际相关研究比对,本研究将不同畜禽的养殖数量以畜禽单元(animal units,AU)进行标准化换算<sup>[17,18]</sup>,1个畜禽单元等于 454 kg 畜禽活体重量,具体换算方法见文献[19].单位 AU 的类固醇激素排放量计算见公式(1)~(3),SEs 的排放量估算使用公式(1)和(2),类固醇雄激素的排放量估算使用公式(3)进行计算.

单位 AU 的 SEs 日排放量计算,如公式(1):

$$\sum_{i=1}^{n} E_{i} = \sum_{i=1}^{n} (c_{fi} \times A_{fi} + c_{ui} \times A_{ui})$$
 (1)

式中,i 为非繁育母畜畜禽种类,即乳牛(包括泌乳牛和非泌乳牛),肉牛(包括育肥牛、种牛和犊牛),猪(育肥猪),和鸡(包括蛋鸡和肉鸡),n=8;  $E_i$  为第 i 种畜禽的 SEs 日排放量[ $\mu g \cdot (AU \cdot d)^{-1}$ ];  $c_{ii}$  为第 i 种畜禽固体粪便中 SEs 的含量( $\mu g \cdot k g^{-1}$ );  $A_{ii}$  为第 i 种畜禽的日排粪量[ $k g \cdot (AU \cdot d)^{-1}$ ];  $c_{ui}$  为第 i 种畜禽尿液中 SEs 的浓度( $\mu g \cdot L^{-1}$ );  $A_{ui}$  为第 i 种畜禽的日排尿量[ $L \cdot (AU \cdot d)^{-1}$ ].

繁育母畜在孕期和非孕期的 SEs 排泄量差异较大,因此,繁育母畜的 SEs 年排放量为母畜处于孕期和非孕期的排放量之和,如公式(2):

$$\sum_{j=1}^{m} E_j = \sum_{j=1}^{m} (E_{pj} \times D_{pj} + E_{cj} \times D_{cj})$$
 (2)  
E. 为第  $i$  种繁育母畜的 SEs 年排放量

式中,  $E_j$  为第 j 种繁育母畜的 SEs 年排放量  $\left[\mu g \cdot (AU \cdot a)^{-1}\right]$ ,包括繁育乳牛,繁育肉牛和母猪,

m = 3;  $E_{pj}$ 为第 j 种繁育母畜的孕期 SEs 日排放量 [ $\mu g \cdot (AU \cdot a)^{-1}$ ];  $E_{ej}$ 为第 j 种繁育母畜的非孕期 SEs 日排放量[ $\mu g \cdot (AU \cdot a)^{-1}$ ];  $D_{pj}$ 为 1 a 中第 j 种繁育母畜处于孕期的天数(d);  $D_{ej}$ 为 1 a 中第 j 种繁育母畜处于非孕期的天数(d); 公式(2)中 1 a 以 365 d 计;  $E_{pj}$ 和  $E_{ej}$ 使用公式(1)进行计算.

单位畜禽 AU 的类固醇雄激素日排放量计算,如公式(3):

$$\sum_{k=1}^{n} T_{k} = \sum_{k=1}^{n} \left( c_{fk} \times A_{fk} + c_{uk} \times A_{uk} \right) \tag{3}$$

式中,k 为进行估算的畜禽种类,即种牛、种猪、肉鸡和蛋鸡,n=4;  $T_k$  为第 k 种畜禽的类固醇雄激素日排放量[ $\mu g \cdot (AU \cdot a)^{-1}$ ];  $c_{lk}$  为第 k 种畜禽固体粪便中类固醇雄激素的浓度[ $\mu g \cdot (AU \cdot a)^{-1}$ ];  $A_{lk}$  为第 k 种畜禽的日排粪量[ $k g \cdot (AU \cdot d)^{-1}$ ];  $c_{uk}$  为第 k 种畜禽尿液中类固醇雄激素的浓度( $\mu g \cdot L^{-1}$ );  $A_{uk}$  为第 k 种畜禽的日排尿量[ $L \cdot (AU \cdot d)^{-1}$ ].

式中基本计算参数包括畜禽养殖数量数据主要来自历年各省、市农业年鉴、畜牧业年鉴和统计年鉴;各类畜禽性别、年龄及功能群数量的划分依据相关文献<sup>[17,19]</sup>;不同畜禽的粪尿日排泄量与品种、体重、生理状态、饲料组成和饲喂方式等均密切相关,本研究主要采用马林等<sup>[9]</sup>对我国 1994~2004 年相关研究的统计数据平均值.

畜禽粪尿中类固醇激素排泄浓度的确定:由于目前尚未见有关我国畜禽粪尿中类固醇激素的排放及残留数据,也缺乏相关激素类兽药的使用量数据,因此本研究主要参考欧美国家相关研究报道.有多个研究结果取平均值作为最终排泄浓度,见表2.

#### 2 结果与讨论

#### 2.1 东北三省类固醇激素的排放特征及年度变化

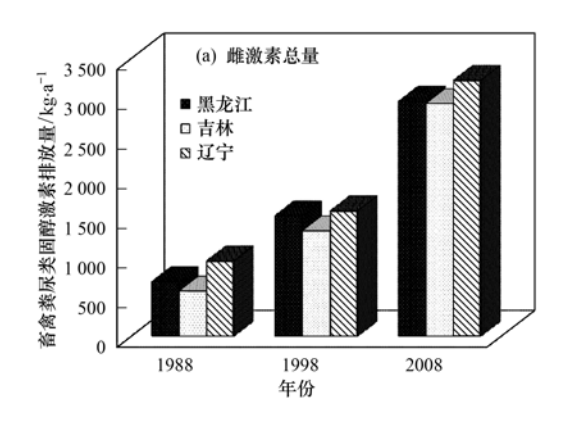
计算显示,从 1988~2008 年的 20 a 间,东北三省各类畜禽养殖所排放的类固醇激素量均呈显著的增长趋势,其中辽宁省畜禽养殖的类固醇雌、雄激素总排放量最大,但三省激素排放量增速存在一定差异(图 1). 类固醇激素年排放量增长速度最快的是吉林省,该省 2008 年的雌激素排放量约为 1988年的 5.2 倍,雄激素的排放量在这 20 a 间更是增加了 8 倍. 各省之间类固醇激素的年排放量增长存在差异,主要原因是不同畜种的类固醇激素排放量不同,并且三省的畜禽养殖数量的增长趋势以及养殖结构比重也不同. 畜禽的养殖量直接影响到畜禽粪便的产生量,而不同种类畜禽粪便含有的类固醇激

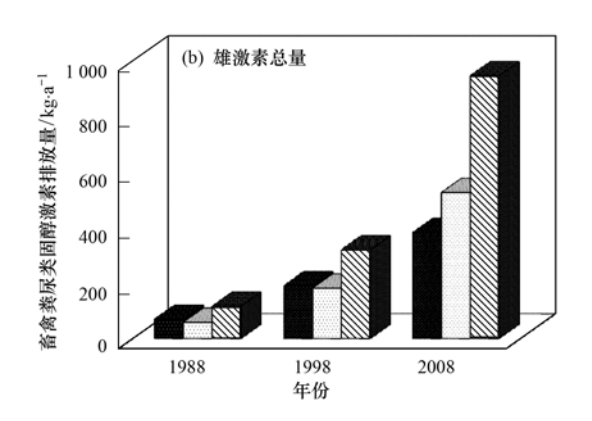
#### 表 2 不同畜种每单位的类固醇激素排泄值/μg·(AU·a)-1

Table 2	Excretion of	steroid	hormones	from	different	animal	units/ug	(AU·a)	) -1

玄会孙米		E1		βΙ	E2	α	E2	雄激素	44.4
畜禽种类	2	固体粪便	尿液	固体粪便	尿液	固体粪便	尿液	養尿排泄值	文献
猪	繁育母猪	67. 4	2 436. 4	55. 6	_1)	_	_	_	[5,20]
	育肥猪	109. 1	745. 4	81. 8	_	_	_	_	[5,21,22]
	种猪	_	_	_	_	_	_	4 874. 3	[23,24]
乳牛	泌乳牛	16. 3	11. 1	47. 4	3.3	83. 9	45.4	_	[16,25,26]
	非泌乳牛	88. 0	59.8	256. 0	18.0	453. 6	245. 2	_	[16,25,26]
	繁育乳牛	47. 9	739. 8	139. 1	221.8	246. 2	3 036. 0	_	[5,20]
肉牛	育肥牛	25. 1	17. 0	73. 0	5. 1	129. 3	69. 9	_	[16,25,26]
	种牛	39. 6	27. 0	115. 2	8. 1	204. 1	110.7	1 068. 5	[25,27,28]
	犊牛	13. 2	9.0	38. 4	2.7	68. 0	36. 9	_	[25,27,29]
	繁育母牛	58. 1	897. 2	168. 7	269. 0	298. 6	3 681. 9	_	[5,20]
鸡	蛋鸡	787. 5	_	3 610. 0	_	_	_	2 330. 0	[16,20,30]
	肉鸡	227. 5	_	505. 1	_	_	_	873. 6	[15,16,30]

#### 1) —表示无相关研究数据





#### 图 1 东北三省畜禽粪尿类固醇激素排放量

Fig. 1 Excretion of steroid hormones from animal feces and urine in Three Northeast Provinces

素量不同,因此,各地区各类畜禽养殖数量及养殖比重的差异直接导致类固醇激素年排放量的不同.

表3显示了三省畜禽粪便中 E1、αE2、βE2 和雄激素的排放量及差异. 畜禽排泄物对 E1 贡献率的排序分别是:猪尿>牛尿>鸡粪>猪粪>牛粪,对 E1 贡献率最大的是猪尿,所占比例基本在 70.0% 左右,特别是辽宁省在 1998 由于养猪数量所占比例高,猪尿中排泄的 E1 占了其总量的 77.1%. 相比吉林和黑龙江省,辽宁省不同畜禽 E1 排放变化幅度较大,自 1998~2008 年这 10 a 间猪尿的贡献率降低了 9.3%;同时,由于蛋鸡和肉鸡的养殖数量激增,鸡粪对 E1 的贡献率显著增加,所占比例增加了 10.2%. 而各省牛粪对 E1 的贡献率近年来均有所降低. βE2 的排放主要由鸡粪贡献,所占比例最高可达 90.4%,三省均呈现鸡粪>牛粪>猪粪>牛尿的规律(由于猪尿中 βE2 的排泄量极低,并缺乏相关研究数据,此处未计算猪尿排放量). 同样,不同

畜种 βE2 排放量变化最大的仍然是辽宁省,该省鸡 粪对 βE2 排放的贡献率 10 a 间增加了 9.1%. 东北三省 αE2 的主要贡献者是肉牛尿液,贡献率最高可达 72.5%. 虽然乳牛尿液对 αE2 的贡献率最高仅有 34.5%,但增长速度最快,特别是黑龙江省乳牛尿液对 αE2 的贡献率十年间增长了 15.7%. 因此,从控制类固醇雌激素污染物排放的角度考虑,猪尿、鸡粪和牛尿分别是 E1、βE2 和 αE2 环境排放的主要控制对象. 特别是 βE2 具有极强的雌激素效应,如何有效地去除和减少鸡粪中雌激素排放的污染风险对东北三省至关重要.

东北三省各类主要畜禽所产生雄激素的最大 贡献者是蛋鸡(表3),排放雄激素所占比例最高 达到85.0%. 比较各省1998~2008年这10 a间 畜禽雄激素排放量组成比例的变化,明确显示吉 林省的变化最为显著,蛋鸡不仅对雄激素排放的 贡献率最大,并且在这10 a间比例上升了11.8%; 同时,种牛、种猪和肉鸡的排放贡献率均有所下降. 从控制环境中类固醇雄激素污染物的角度出发,蛋鸡粪便是需要控制的主要对象,如何有效去除和减少蛋鸡粪便中的雄激素对环境的输入和污染风险值得关注.

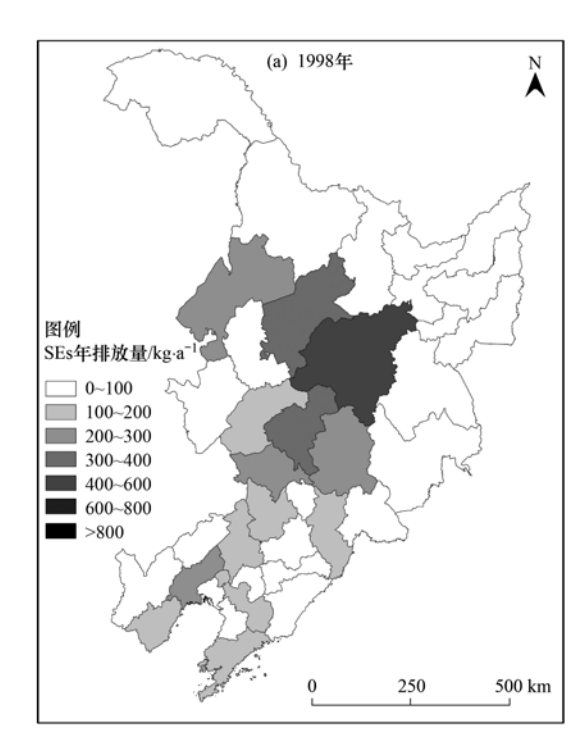
# **2. 2** 东北三省各城市畜禽粪便雌激素排放的空间分布特征

图 2 显示了 1998 年和 2008 年东北三省 36 个地市畜禽养殖排放 SEs 的分布特征,显然,东北三省各城市的类固醇激素排放量空间分布极不均匀.

表 3 1998 和 2008 年东北三省畜禽粪尿类固醇激素排放量组成/%

Table	3 Composi	ition of	manure-borne	steroid	hormones	in Three	<ul> <li>Northeast</li> </ul>	Provinces	in 1998	and 2008/%

类固醇激素	<del>चेर</del> अह	黑	龙江	吉	林	辽	宁
	来源	1998 年	2008 年	1998 年	2008 年	1998 年	2008年
E1	牛粪	3. 0	2. 8	2. 9	2. 3	1.4	1.4
	牛尿	12. 3	11.8	10. 9	9. 4	5. 4	4. 9
	猪粪	5. 4	5. 7	5.7	5. 8	5.8	5.4
	猪尿	73. 0	72. 9	74. 2	72. 9	77. 1	67.8
	鸡粪	6. 2	6. 9	6. 3	9. 7	10.3	20. 5
总计		100.0	100.0	100.0	100.0	100.0	100.0
βΕ2	牛粪	20. 0	17. 2	19. 7	12. 0	7. 6	4. 0
	牛尿	8. 4	7. 5	7.7	5. 0	3.0	1.5
	猪粪	9. 5	9.3	10. 3	7. 9	8. 1	4. 1
	鸡粪	62. 2	66. 1	62. 3	75. 0	81.3	90. 4
总计		100. 0	100. 0	100.0	100. 0	100.0	100.0
αΕ2	乳牛粪便	5. 1	9. 4	0. 7	1.4	1. 1	2. 9
	乳牛尿液	18.8	34. 5	2.4	5. 3	4.0	10. 4
	肉牛粪便	18. 4	13.4	24. 4	22. 1	23.9	23.0
	肉牛尿液	57. 6	42. 8	72. 5	71. 2	71.0	63.7
总计		100.0	100.0	100.0	100.0	100.0	100.0
雄激素	种牛粪尿	15. 3	10. 5	16. 4	10. 3	5.9	2. 7
	种猪粪尿	13.4	12. 5	12. 6	9. 0	10.0	4. 6
	蛋鸡粪便	64. 5	72. 4	56. 7	68. 5	72. 9	85.0
	肉鸡粪便	6.8	4. 5	14. 4	12. 3	11.2	7.7
总计		100.0	100. 0	100.0	100. 0	100.0	100.0



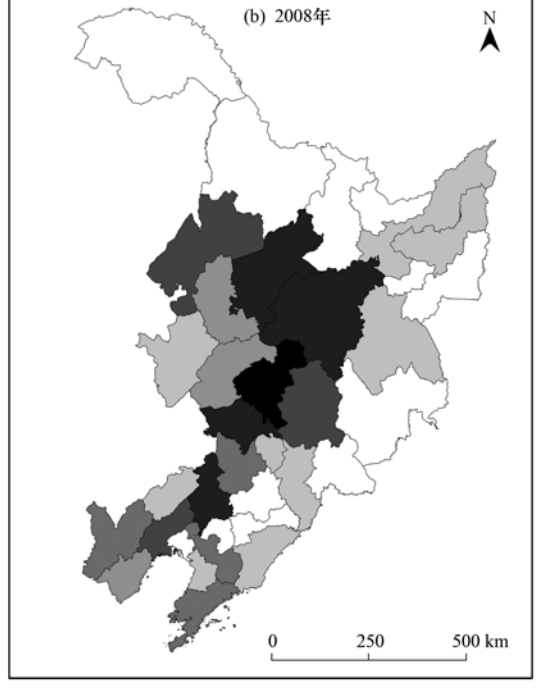


图 2 东北三省畜禽粪尿雌激素排放量分布

Fig. 2 Distribution of manure-borne estrogens in Three Northeast Provinces

在 1998 年, 东北三省中 SEs 年排放总量最高的 是哈尔滨市,达到 400.2 kg; 三省中 SEs 年排放总 量低于 100 kg 的城市有 21 个,占城市总数的 58.3%; 到 2008 年, SEs 年排放总量低于 100 kg 的 城市减少到11个,其中年排放总量低于50 kg 的城 市仅有3个.到2008年,三省中SEs年排放总量超 过 400 kg 的城市上升到 8 个,100~400 kg 之间的 城市有17个,占城市总数量的47.2%,SEs年排放 总量最高的长春市排放量达到874.7 kg, 10 a 间畜 禽粪便 SEs 的年排放量增加了 500.8 kg,在东北三 省的各地市中增长最为显著,是哈尔滨市 1998 年 SEs 排放总量的 2.2 倍. 黑龙江和辽宁省排放量增 长最显著的城市分别为绥化和沈阳市,年排放量分 别增加了 289.2 kg 和 417.6 kg. 此外,也有部分城 市的畜禽粪便 SEs 年排放总量呈下降趋势,黑龙江 省七台河市和辽宁省抚顺市年排放总量分别下降了 2.8 kg 和 2.4 kg. 在总养殖数量急剧增长的大趋势 下,出现年排放总量下降,主要原因是畜禽养殖结构 比例的变化所致.

# **2.3** 东北三省畜禽粪便排放类固醇雌激素对地表水的潜在污染风险

城市污水处理厂排水和畜禽养殖场排污以及粪便土地利用均可以导致不同程度地表水体污染风险. Johnson 等<sup>[31]</sup>根据城市污水厂 SEs 的排放量估算值以及年径流量的统计数据,对日本及英国河流中的 SEs 浓度进行了估算. 本研究借鉴了其方法,尝试对东北三省畜禽粪便所排放 SEs 对地表水体的污染风险进行预测,预测方法如式(4).

PEC = 
$$\left(\sum_{i=1}^{n} E_i \times \eta\right) \div r$$
 (4)

式中,PEC 表示某地区地表水体的 SEs 浓度预测值  $(ng \cdot L^{-1})$ ;  $E_l$  表示当地第 l 种畜禽的 SEs 排放量  $(ng \cdot a^{-1})$ ,n = 11;  $\eta$  表示当地畜禽粪尿中 SEs 的流失率; r 表示当地地表水资源量( $L \cdot a^{-1}$ ).

在我国长江流域,已有大量关于畜禽粪便污染物流失的研究<sup>[32]</sup>,普遍采用 30% 作为畜禽粪便污染物流失率. 但是与长江流域相比,东北地区降雨量少并且地表水系不发达,所以畜禽粪尿的流失率应该低于长江流域. 马林等<sup>[9]</sup>开展了东北地区畜禽粪尿污染的研究,其综合了全国相关研究以及上海、广东的研究结果,建议东北地区的畜禽粪尿中 N、P及 COD 等污染物的流失率为 20%. 本文参考马林等<sup>[9]</sup>的研究结果,以 20% 作为东北三省畜禽粪尿中SEs 的流失率(η). 各种畜禽粪尿的 SEs 排放量

 $(E_1)$ 参考本文公式(1)和(2)进行计算; 地表水资源量(r)的相关数据来源于各省份统计年鉴.

为更有效比较和呈现各种 SEs 的生态及环境污染风险,研究者普遍将不同种类 SEs 的雌激素活性效 应 统 一 转 化 为 雌 二 醇 等 当 量 (estradiol equivalency, EEQ)表示. EEQ 是由各物质的雌二醇当量因子(estradiol equivalency factors, EEF)和实际检测的环境暴露浓度(measured environmental concentration, MEC)相乘得出,该值既能较为直观地反映污染物的暴露浓度,又易于比较不同生物的雌激素效应<sup>[31]</sup>. 本研究引入 EEQ 进行地表水中 SEs 浓度的测算,一是便于地表水浓度与鱼类效应浓度的比较,二是利于与国外相关研究的比对,计算方法如式(5).

$$EEQ_s = \left(\sum_{i=1}^n EEF_i \times MEC_i\right)$$
 (5)

式中, EEQ<sub>s</sub> 为地表水中雌二醇等当量浓度 ( $ng \cdot L^{-1}$ ); EEF<sub>i</sub> 为第 i 种 SEs 的雌二醇当量因子; MEC<sub>i</sub> 为第 i 种 SEs 的环境暴露浓度 ( $ng \cdot L^{-1}$ ), n=3. 已有文献指出 E1 的雌激素效能约为  $\beta$ E2 的  $1/3^{[5]}$ ,  $\beta$ E2 约为  $\alpha$ E2 雌激素效能的  $8 \sim 9$  倍  $\alpha$ E2 此公式(5)中  $\alpha$ E2 上1 和  $\alpha$ E2 的 EEF 值分别取 1、  $\alpha$ E2 的 EEF 值分别取 1、  $\alpha$ E2 的 EEF 值,计算方法如式(4).

图 3 是东北三省畜禽粪便流失入水体后 SEs 可 能在水体中的残留浓度(以 EEQ。 计). 预测数据显 示,东北三省地表水体 EEQ。 值排序如下:辽宁 > 吉 林>黑龙江省. 其中,辽宁省地表水中的 EEQ。估算 值最大,达到17.1 ng·L<sup>-1</sup>,约为黑龙江省的2.6 倍. 辽宁省地表水浓度显著高于其他两省的主要原因是 该省畜禽养殖排放的 SEs 量最高,约为其他两省的 1.1倍;但地表水资源量最少,仅为其他两省平均值 的73.3%. 因此,如果其畜禽产生的大量 SEs 随畜 禽粪尿流失进入水体后,可能无法得到更为有效地 稀释,使地表水体中EEQ。值显著高于其它两省.据 台湾省某养殖场下游河流沿途采样的检测结果显 示[33],河水中 EEQ。值最高达到 217 ng·L<sup>-1</sup>,河流下 游 15 km 处仍检出 EEQ。值 25.1 ng·L<sup>-1</sup>左右,充分 证明了养殖场排污对水体的污染风险. 另外有研究 发现[14],我国某地地表水中 E1 和 βE2 的平均浓度 分别为 38.6 和 9.5 ng·L<sup>-1</sup>,如换算为地表水 EEQ。 值可达 22.4 ng·L<sup>-1</sup>,与本文预测的东北三省区域地 表水 EEQ。 值较为吻合. 因此,本研究对东北三省地 表水 EEQ。预测值虽然是理论数据,但是处于合理

范围之内,研究结果对于科学认识畜禽养殖污染风 险和有效环境管理具有科学意义.

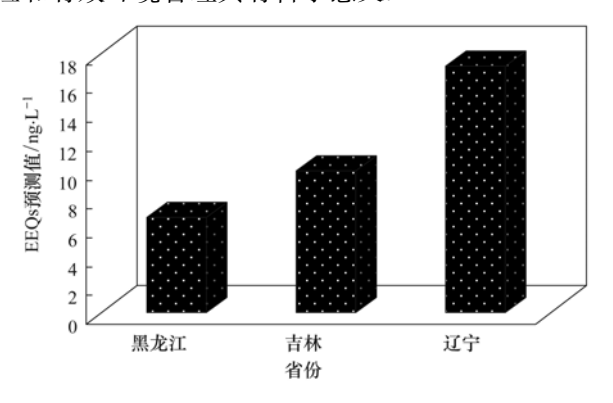


图 3 2008 年东北三省的 EEQ<sub>s</sub> 预测值

Fig. 3 Estimation of EEQ, in Three Northeast Provinces in 2008

欧美等发达国家对 SEs 的研究开展较早,英国 环保署(Environment Agency, United Kingdom)针对 βE2 对鱼类的效应浓度已提出建议值,预测无效应 浓度(predicted no effect concentration, PNEC)和最低 可观测效应浓度(LOEC)值分别为1 ng·L<sup>-1</sup>和 10 ng·L<sup>-1[1]</sup>. 以建议的 PNEC(1 ng·L<sup>-1</sup>)为 EEQ。的参 考值,则东北三省的地表水均存在被畜禽粪便 SEs 污染的风险: 以建议的 LOEC(10 ng·L<sup>-1</sup>) 为环境阈 值,则辽宁省2008年的畜禽养殖规模和结构可能已 经对地表水体中的水生生物产生内分泌干扰效应. 需要说明的是,本研究计算的预测值仅为畜禽排泄 物中 SEs 流失进入地表水的初始浓度,即 EEQ。的 最高预测值,可能会出现在养殖场临近河流的污水 排放口处. 该预测值只考虑了地表水对污染物的稀 释作用,未考虑 SEs 的降解半衰期以及其在地表水 体中复杂的吸附和生物降解、光解及水解等过程, 但是众所周知,养殖场排污基本是一个连续的过程, 因此预测结果还有待进一步的实际水体中污染物浓 度的检测验证.

#### 3 结论

- (1)20世纪80年代以来,东北三省各类畜禽养殖数量均快速增加,导致随畜禽粪尿进入环境的类固醇激素量持续增大.其中,辽宁省畜禽养殖类固醇激素的年排放量最大,增长速度最快的省份是吉林省.
- (2)猪尿、鸡粪和牛尿分别是东北三省 E1、βE2 和 αE2 环境排放的主要控制对象. 由于 βE2 具有极强的雌激素效应,如何有效地去除或减少鸡粪中雌激素的环境排放对东北三省至关重要.

(3)东北三省畜禽排放类固醇雌激素的等当量浓度(EEQ<sub>s</sub>)预测值呈现辽宁>吉林>黑龙江省的分布趋势,参考英国环保署建议的 PNEC 和 LOEC值,辽宁省畜禽养殖的 SEs 排放对地表水体的潜在污染风险最高,吉林和黑龙江省的 EEQ<sub>s</sub> 预测值也对水生生物存在一定威胁,但区域水环境污染风险较低.

#### 参考文献:

- [1] Shappell N W, Hyndman K M, Bartell S E, et al. Comparative biological effects and potency of 17α-and 17β-estradiol in fathead minnows [J]. Aquatic Toxicology, 2010, 100(1): 1-8.
- [2] Bartelt-Hunt S L, Snow D D, Kranz W L, et al. Effect of growth promotants on the occurrence of endogenous and synthetic steroid hormones on feedlot soils and in runoff from beef cattle feeding operations[J]. Environmental Science & Technology, 2012, 46 (3): 1352-1360.
- [3] Qu S, Kolodziej E P, Cwiertny D M. Phototransformation rates and mechanisms for synthetic hormone growth promoters used in animal agriculture [J]. Environmental Science & Technology, 2012, 46(24): 13202-13211.
- [4] Raman D R, Williams E L, Layton A C, et al. Estrogen content of dairy and swine wastes [J]. Environmental Science & Technology, 2004, 38(13): 3567-3573.
- [5] Johnson A C, Williams R J, Matthiessen P. The potential steroid hormone contribution of farm animals to freshwaters, the United Kingdom as a case study[J]. Science of the Total Environment, 2006, 362(1-3): 166-178.
- [6] Orlando E F, Kolok A S, Binzcik G A, et al. Endocrinedisrupting effects of cattle feedlot effluent on an aquatic sentinel species, the fathead minnow [J]. Environmental Health Perspectives, 2004, 112(3): 353-358.
- [7] Arnon S, Dahan O, Elhanany S, et al. Transport of testosterone and estrogen from dairy-farm waste lagoons to groundwater [J]. Environmental Science & Technology, 2008, 42 (15): 5521-5526.
- [8] Zhang F S, Li Y X, Yang M, et al. Copper residue in animal manures and the potential pollution risk in northeast China[J]. Journal of Resources and Ecology, 2011, 2(1): 91-96.
- [9] 马林, 王方浩, 马文奇, 等. 中国东北地区中长期畜禽粪尿资源与污染潜势估算[J]. 农业工程学报, 2006, **22**(8): 170-174.
- [10] Gadd J B, Tremblay L A, Northcott G L. Steroid estrogens, conjugated estrogens and estrogenic activity in farm dairy shed effluents[J]. Environmental Pollution, 2010, 158 (3): 730-736.
- [11] Barbosa I R, Nogueira A J A, Soares A M V M. Acute and chronic effects of testosterone and 4-hydroxyandrostenedione to the crustacean *Daphnia magna* [ J ]. Ecotoxicology and Environmental Safety, 2008, 71(3): 757-764.
- [12] Chen D M, Tao Y F, Liu Z Y, et al. Development of a liquid chromatography-tandem mass spectrometry with pressurized liquid

- extraction for determination of glucocorticoid residues in edible tissues[J]. Journal of Chromatography B, 2011, **879**(2): 174-180.
- [13] Fan Z L, Wu S M, Chang H, et al. Behaviors of glucocorticoids, androgens and progestogens in a municipal sewage treatment plant; comparison to estrogens [ J ]. Environmental Science & Technology, 2011, 45 (7): 2725-2733.
- [14] Duong C N, Ra J S, Cho J, et al. Estrogenic chemicals and estrogenicity in river waters of South Korea and seven Asian countries[J]. Chemosphere, 2010, 78(3): 286-293.
- [15] Shore L S, Shemesh M. Naturally produced steroid hormones and their release into the environment [J]. Pure and Applied Chemistry, 2003, 75(11-12): 1859-1871.
- [16] Lange I G, Daxenberger A, Schiffer B, et al. Sex hormones originating from different livestock production systems: fate and potential disrupting activity in the environment [J]. Analytica Chimica Acta, 2002, 473(1-2): 27-37.
- [17] 李帷,李艳霞,张丰松,等. 东北三省畜禽养殖时空分布特征及粪便养分环境影响研究[J]. 农业环境科学学报,2007,26(6):2350-2357.
- [18] Saam H, Powell J M, Jackson-Smith D B, et al. Use of animal density to estimate manure nutrient recycling ability of Wisconsin dairy farms[J]. Agricultural Systems, 2005, 84(3): 43-357.
- [19] Kellogg R L, Lander C H, Moffitt D C, et al. Manure nutrients relative to the capacity of cropland and pastureland to assimilate nutrients: spatial and temporal trends for the United States [A]. United States Department of Agriculture, Natural Resources Conservation Service and Economic Research Service, 2000.
- [20] Hanselman T A, Graetz D A, Wilkie A C. Manure-borne estrogens as potential environmental contaminants: a review[J]. Environmental Science & Technology, 2003, 37 (24): 5471-5478.
- [21] Vos E A. Direct elisa for estrone measurement in the feces of sows: prospects for rapid, sow-side pregnancy diagnosis [J]. Theriogenology, 1996, 46(2): 211-231.
- [22] Choi H S, Kiesenhofer E, Gantner H, et al. Pregnancy diagnosis in sows by estimation of oestrogens in blood, urine or faeces[J]. Animal Reproduction Science, 1987, 15(3-4); 209-216.

- [23] Navrátil S, Matousková O. Elimination of testosterone and androstendione in the urine of boars in relation to the incretory function of the testes[J]. Veterinarni Medicina, 1978, 23(2): 77-86.
- [24] Palme R, Fischer P, Schildorfer H, et al. Excretion of infused<sup>14</sup> C-steroid hormones via faeces and urine in domestic livestock [J]. Animal Reproduction Science, 1996, 43(1): 43-63.
- [25] Hoffmann B, De Pinho T G, Schuler G. Determination of free and conjugated oestrogens in peripheral blood plasma, feces and urine of cattle throughout pregnancy [J]. Experimental and Clinical Endocrinology and Diabetes, 1997, 105 (5): 296-303.
- [26] Möstl E, Choi H S, Wurm W, et al. Pregnancy diagnosis in cows and heifers by determination of oestradiol-17α in faeces [J]. British Veterinary Journal, 1984, 140(3): 287-291.
- [27] Sarah C, Guillermina H. Occurrence, fate, and biodegradation of estrogens in sewage and manure [J]. Applied Microbiology and Biotechnology, 2010, 86(6): 1671-1692.
- [28] Arts C J M, Van Baak M J, Den Hartog J M P. Control system for detection of the illegal use of naturally occurring steroids in calves[J]. Journal of Chromatography B; Biomedical Sciences and Applications, 1991, 564(2): 429-444.
- [29] Martin Kast W, Melief C J M. In vivo efficacy of virus-derived peptides and virus-specific cytotoxic T lymphocytes [ J ]. Immunology Letters, 1991, 30(2): 229-232.
- [30] Finlay-Moore O, Hartel P, Cabrera M. 17β-estradiol and testosterone in soil and runoff from grasslands amended with broiler litter [J]. Journal of Environmental Quality, 2000, 29 (5): 1604-1611.
- [31] Johnson A C, Yoshitani J, Tanaka H, et al. Predicting national exposure to a point source chemical: Japan and endocrine disruption as an example [J]. Environmental Science & Technology, 2011, 45(3): 1028-1033.
- [32] 闫铁柱, 杜会英, 夏维, 等. 安徽省畜禽粪便污染现状及其防治对策[J]. 农业环境与发展, 2009, **26**(2): 58-62.
- [33] Chen T S, Chen T C, Yeh K C, et al. High estrogen concentrations in receiving river discharge from a concentrated livestock feedlot[J]. Science of the Total Environment, 2010, 408(16): 3223-3230.

# **HUANJING KEXUE**

Environmental Science (monthly)

Vol. 34 No. 8 Aug. 15, 2013

### **CONTENTS**

Characteristics of Haze and Its Impact Factors in Four Megacities in China During 2006-2009	
Characteristics of VOCs and Their Photochemical Reactivity in Autumn in Nanjing Northern Suburb	
On-Line Measurement of Water-Soluble Composition of Particulate Matter in Beijing	
Design and Evaluation of an Aerosol Nanoparticle Generation System	
Aerosol Size Distribution of Organic Carbon and Elemental Carbon on the Top of Coke Oven and in the Plant Area	
Effects of Diurnal Warming on Soil N <sub>2</sub> O Emission in Soybean Field	
N <sub>2</sub> O Flux in Winter and Its Affecting Factors Under Different Land Use Patterns	
Prediction of Methane Emission of Paddy Field Based on the Support Vector Regression Model	
Distributional Characteristics of Nutrients in the Sea-surface Microlayer and Subsurface Water of the Bohai and Yellow Sea in Summ	
Effect of Nitrogen and Phosphorus Concentrations on the Adsorption of BDE28 and BDE47 by Prorocentrum donghaiense Dominant	Population
	WANG Fang, GE Wei, CHAI Chao, et al. (2992)
Hyperspectral Remote Sensing of Chlorophyll a Concentrations in the Lake Taihu, Based on Water Optical Classification	
Bacterioplankton Index of Biotic Integrity (BP-IBI): An Approach for Assessing River Ecosystem Health in Dianchi Watershed	
Estimation of Urban Non-Point Source Pollution Loading and Its Factor Analysis in the Pearl River Delta	
Transported Fluxes of the Riverine Carbon and Seasonal Variation in Pearl River Basin	
Characteristics of Nutrient Loss of Lanlingxi Watershed in the Three Gorges Reservoir Area	
Characteristics of Dissolved Organic Carbon Release Under Inundation from Typical Grass Plants in the Water-Level Fluctuation Zo	
-11	
Research on the Influence of Mixing Layer Depth on Algal Growth	
Denitrification Study of Elodea nuttallii-Nitrogen Cycling Bacteria Restoration in Meiliang Bay, Taihu Lake	
Influence of Combined Ecological Floating Bed on Nitrogen and Phosphorus Between Overlying Water and Sediment	
Effects of Biochar Covering on the Release of Pollutants from Sediment	II Yang II Feng-min ZHANG Xiu-wen et al. (3071)
Temporal-spatial Difference of Ecotoxicity and Heavy Metals Pollution in Shima Catchment, Dongguan	
Evolvement and Pollution of Heavy Metals in Core Sediments from Yamenqi Lake in Lianhuan Lake, China	
Effect of Constructed Wetland on the Purification of Industrial Zone Rainfall Runoff Contaminated with Phenanthrene	
Removal and Accumulation of the Tetracycline Resistance Gene in Vertical Flow Constructed Wetland	
Method for Optimal Sensor Placement in Water Distribution Systems with Nodal Demand Uncertainties	
Formation Process of Nitrogenous Disinfection Byproduct Trichloronitromethane in Drinking Water and Its Influencing Factors	
Removal of Estrogens in Laccase Catalyzed Oxidative Processes	
Study on Electrochemical Degradation of Ceftazidime by Carbon Nanotubes Electrode	
Photochemical Reaction Types of the Azole Fungicide Fluconazole Under UV-vis Irradiation	CF Links II Kei VANC Kei et al. (2122)
Photocatalytic Degradation Kinetics of Diuron by TiO <sub>2</sub> and Simulated Sunlight	
Adsorption of Congo Red from Aqueous Solution on Hydroxyapatite	
Ethanol-Induced Influence on the Structure and Arsenate Adsorption of Resin-based Nano-hydrated Ferric Oxide	
Chlorination Characteristic and Disinfection By-product Formation Potential of Dissolved Organic Nitrogen Compounds in Municipal	
Start-up and Maintenance Method for Short-Cut Advanced Nitrogen Removal Process in a Pilot-Scale Reactor at Low Temperature ·	
Start-up and maintenance method for Snort-Cut Advanced Nitrogen Removal Process in a Filot-Scale Reactor at Low Temperature " Study on the Start-Up of Anaerobic Ammonium Oxidation Process in Biological Activated Carbon Reactor "	
Excretion of Manure-Borne Steroid Hormones and Their Potential Risk in the Three Northeast Provinces of China	
Excretion of Manure-Borne Steroid Hormones and Their Potential Risk in the Three Northeast Provinces of China  Spatial Distribution and Composition of Perfluorinated Compounds in Soils Around the Huaihe River	
Fluorine Speciation and Its Distribution Characteristics in Selected Agricultural Soils of North China Plain	
Effects of Long-Term Manure and Crop Residues Incorporation on Yield and Phosphorus Saturation in a Paddy Soil  Influence of Organochlorine Pesticides in Wastewater on the Soil Along the Channel	YULL: ZHANG C:: LILLM: (2211)
Elution of Endosulfan from Contaminated Soil by Surfactants and Their Combination	
Effects of Different Aspects on Soil Microbial Biomass and Dissolved Organic Carbon of the Loess Hilly Area	
Effects of Nitrogen Addition on Red Soil Microbes in the Cinnamomum camphora Plantation	
Concentration, Profile Distribution and Source Identification of PCDD/Fs in Environmental Medium Around a HSWI	
Assessment of Bioaccessibility of PAHs in Microbial Degradation Process Using Solid Phase Micro Extraction and Solid Phase Extra	Chon
Biodegradation of Tetrahydrofuran by Combined Immobilized of <i>Pseudomonas oleovorans</i> DT4	
Analysis on Microbial Community in Biofilm Coating onto Solid Carbon Source Using the PCR-DGGE Technique	9. 4
Effect of Temperature on Activity of Acidithiobacillus ferrooxidan and Formation of Biogenic Secondary Iron Minerals	9 1
Differences of Selenium Uptake Pattern of Pakchoi and the Possible Mechanism When Amended with Selenate and Selenite	
Effect of Pretreatment on Storage and Biogas Production of Baling Wheat Straw	
Toxicity of Nitrate-N to Freshwater Aquatic Life and Its Water Quality Criteria	
Analysis Performance of Biological Toxicity Testing MTOXPlate Using Microplate	
Study of Combined Effects of DES and EV on the Proliferation of MCF-7 Cells by Two Experimental Designs	
Status and Influencing Factors of Polychlorinated Biphenyls (PCBs) Pollution in the Coastal Areas in China	
Pharmaceuticals and Personal Care Products (PPCPs) in the Effluent of Sewage Treatment Plants	
Research Progress on Biochar Carbon Sequestration Technology	
Countermeasures for Strict Water Quality Management of Drinking Water Sources; Some Thoughts and Suggestions on Implementing	Strict Water Resources Management FU Guo-wei (3334)

### 《环境科学》第6届编辑委员会

主 编:欧阳自远

副主编:赵景柱 郝吉明 田 刚

委: (按姓氏笔画排序)

万国江 王华聪 王凯军 王绪绪 田 刚 田 静 史培军

朱永官 刘志培 汤鸿霄 陈吉宁 孟伟 周宗灿 林金明

欧阳自远 赵景柱 姜林 郝郑平 郝吉明 聂永丰 黄 霞

黄耀 鲍 强 潘纲 潘 涛 魏复盛

(HUANJING KEXUE)

(月刊 1976年8月创刊)

ENVIRONMENTAL SCIENCE

(Monthly Started in 1976)

Vol. 34 No. 8 Aug. 15, 2013 2013年8月15日 34卷 第8期

主	管	中国科学院	Superintended	by	Chinese Academy of Sciences
主	办	中国科学院生态环境研究中心	Sponsored	by	Research Center for Eco-Environmental Sciences, Chinese
协	办	(以参加先后为序)			Academy of Sciences
		北京市环境保护科学研究院	Co-Sponsored	by	Beijing Municipal Research Institute of Environmental
		清华大学环境学院			Protection
主	编	欧阳自远			School of Environment, Tsinghua University
	辑	《环境科学》编辑委员会	Editor-in -Chief		OUYANG Zi-yuan
2m	<del>14</del>	北京市 2871 信箱(海淀区双清路	Edited	by	The Editorial Board of Environmental Science (HUANJING
		18 号,邮政编码:100085)			KEXUE)
		电话:010-62941102,010-62849343			P. O. Box 2871, Beijing 100085, China
		传真:010-62849343			Tel:010-62941102,010-62849343; Fax:010-62849343
		E-mail; hjkx@ rees. ac. cn			E-mail; hjkx@ rcees. ac. cn
		http://www.hjkx.ac.cn			http://www. hjkx. ac. en
出	版	4 学 出 版 社	Published	by	Science Press
щ	/VA	北京东黄城根北街 16 号			16 Donghuangchenggen North Street,
		邮政编码:100717			Beijing 100717, China
印刷装	订	北京北林印刷厂	Printed	by	Beijing Bei Lin Printing House
发	行	<b>斜学出版社</b>	Distributed	by	Science Press
		电话:010-64017032			Tel:010-64017032
		E-mail:journal@mail.sciencep.com			E-mail:journal@mail.sciencep.com
订购	处	全国各地邮电局	Domestic		All Local Post Offices in China
国外总发	行	中国国际图书贸易总公司	Foreign		China International Book Trading Corporation (Guoji
		(北京 399 信箱)			Shudian), P. O. Box 399, Beijing 100044, China

中国标准刊号: ISSN 0250-3301 CN 11-1895/X

国内邮发代号: 2-821

国内定价:90.00元

国外发行代号: M 205

国内外公开发行